

سنگنگاری، کانی‌شناسی و زمین‌شیمی شیل‌های کوه کمر در برش روم (جنوب قائن) برای تعیین خاستگاه و جایگاه زمین‌ساختی

صدیقه زیرجانی‌زاده^{*}، یعقوب نصیری^۱، سید خلیل فروزنده^۲، سمیرا تقدبی‌سی نیک‌بخت^۱، حمید حافظی مقدس^۳
محمد امین زارعی درمیان^۳

۱- مجتمع آموزش عالی گناباد، گناباد، ایران

۲- گروه زمین‌شناسی، دانشکده علوم، دانشگاه فردوسی مشهد، مشهد، ایران

۳- گروه مهندسی معدن، دانشگاه بیرجند، بیرجند، ایران

(دریافت مقاله: ۹۸/۳/۱۸، نسخه نهایی: ۹۸/۸/۴)

چکیده: منطقه شیل کوه کمر با سمتبرای ۳۵۴ متر از سنگ‌های سیلیسی آواری (ماسه سنگ و شیل) تشکیل شده است. بررسی‌های سنگنگاری نشان می‌دهد که ماسه سنگ‌های این منطقه در دو گروه نیمه آرکوز و آرکوز قرار دارند. این ماسه سنگ‌ها بیشتر از کوارتزهای بسبلوری و تکبلوری و فلدسپار پتاسیم با جورشدگی متوسط و گردشده نیمه زاویه‌دار تا نیمه گردشده تشکیل شده‌اند و رسیدگی ترکیبی و بافتی متوسط تا پایینی را نشان می‌دهند. از نظر سنگنگاری، شیل‌ها غنی از کوارتز، آلبیت، کلسیت و دارای مقدار کمی کانی رسی (ایلیت و کلریت) هستند. تصاویر مکروسکپ الکترونی روبشی (SEM) نیز نشان‌دهنده کانی‌های رسی ایلیت و کلریت در این شیل‌هاست. به منظور تعیین برخاستگاه، شیل‌های این منطقه تجزیه زمین‌شیمی شدند که نسبت به پوسته قاره‌ای بالایی، تخلیه در مقدار Al_2O_3 , SiO_2 , Na_2O , P_2O_5 , Al_2O_3 , Sr , Cu , Nb , Ba و غنی‌شدنگی در U و CaO را نشان می‌دهند. نمودار Al_2O_3 نسبت به TiO_2 و نمودارهای سه تایی ($\text{SiO}_2/20$), ($\text{K}_2\text{O}+\text{Na}_2\text{O}$), ($\text{MgO}+\text{TiO}_2+\text{FeO}$) و همچنین Al_2O_3 , $\text{CaO}+\text{Na}_2\text{O}+\text{K}_2\text{O}$, $(\text{FeO}+\text{MgO})$ خاستگاه اصلی شیل‌های این منطقه را یک سنگ آذرین حدواسط پیشنهاد می‌کند. (CIA) و (PIA) محاسبه شده بیانگر هوازدگی شیمیایی ضعیف تا متوسط و آب و هوای خشک و نیمه خشک در ناحیه خاستگاه هستند. نمودارهای تابعی برپایه اکسیدهای عنصر اصلی (SiO_2 نسبت به $\text{K}_2\text{O}/\text{Na}_2\text{O}$) و همچنین نمودار سه تایی ($\text{Na}_2\text{O}+\text{K}_2\text{O}$) نشان می‌دهد که شیل‌های این منطقه در جایگاه قاره‌ای فعال قرار دارند. بازسازی جغرافیای دیرینه برای این منطقه طی ائوسن نشان می‌دهد که رسوبگذاری این منطقه در یک حوضه درون قاره‌ای در حال فرونشینی رخ داده است.

واژه‌های کلیدی: زمین‌شیمی؛ هوازدگی شیمیایی؛ سنگ خاستگاه؛ برخاستگاه؛ جنوب قائن؛ فلیش شرق.

مقدمه

چه با بررسی‌های سنگنگاری می‌توان برخاستگاه سنگ‌های آواری را تفسیر کرد؛ اما بررسی‌های زمین‌شیمی و استفاده از نمودارهای تفکیکی می‌تواند ابزار قدرتمندی برای تشخیص برخاستگاه این سنگ‌ها باشد [۴-۶]. شیل‌ها به علت همگن و غیر قابل نفوذ بودن نسبت به سنگنگاری ماسه سنگ‌ها، کاربرد

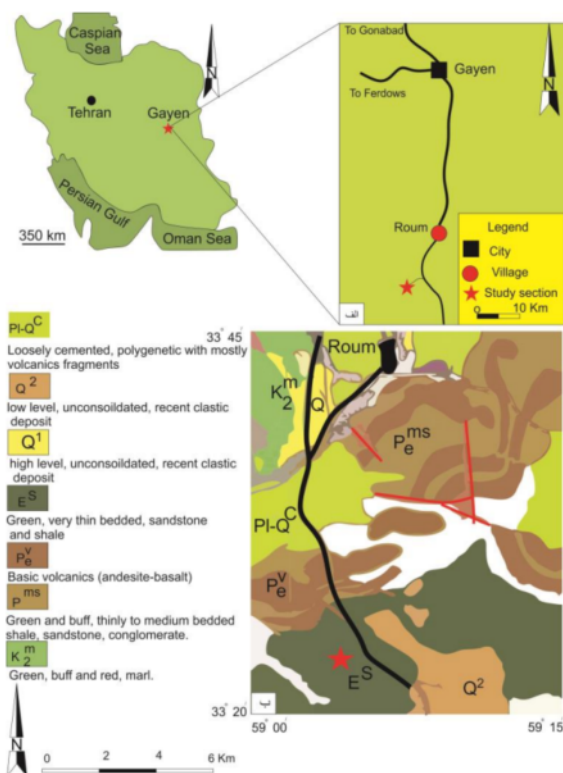
شناخت برخاستگاه سنگ‌های رسوبی آواری در بررسی جغرافیای دیرینه سودمند است [۱]. ترکیب رسوب‌های آواری وابسته به نوع سنگ‌های ناحیه خاستگاه، آب و هوا و پستی و بلندی است که همه در کنترل زمین‌ساخت هستند [۳، ۲]. اگر

شیل با دگرگشیبی زاویه‌دار رسوب‌های کرتاسه را پوشانده‌اند. در دوره‌های الیکوسن پایانی و میوسن پیشین نیز بر حسب فاصله از این دو قطعه، رسوب‌های فلیشی وابسته به دوره پالئوژن چین خوردگی یافته و موجب تشکیل حوضه‌های رسوبی دوره نئوژن در سطح این ناحیه شده‌اند. سرانجام با چین خوردگی واحدهای رسوبی وابسته به دوره نئوژن در دوره پلیوکواترنر چهره کنونی این ناحیه شکل گرفته است. در این پژوهش، واحدهای اؤسن در برش روم در 35 کیلومتری جنوب قائن (شکل ۱ الف) و در عرض جغرافیایی 20° شمالی و طول (شکل ۱ الف) و در عرض جغرافیایی $59^{\circ} 00'$ تا $59^{\circ} 15'$ شرقی بررسی شد (شکل ۱ ب)، برش مورد بررسی 354 متر ستبرادر و بیشتر شامل سنگ‌های سیلیسی آواری (ماسه سنگ و شیل) بوده و به صورت ناپیوسته روی سنگ آهک‌های کرتاسه جای گرفته است. شیل‌های این مجموعه از نوع شیل‌های سبز رنگ با فرسایش مدادی بوده و ماسه سنگ‌ها نیز متوسط تازک لایه با رنگ سبز زیتونی تا تیره هستند (شکل ۲). این واحدها در برگه زمین‌شناسی روم اؤسن پیشین در نظر گرفته شده است [۱۱].

بهتری در بررسی‌های زمین‌شیمی برخاستگاه دارند [۹-۷]. ترکیب کانی‌شناسی و زمین‌شیمی سنگ‌های رسوبی آواری نشان‌دهنده ترکیب سنگ و جایگاه زمین‌ساختی ناحیه خاستگاه و عوامل محیطی شامل نوع و مدت زمان هوازدگی، سازوکار تراپزد محیط رسوبی و همچنین فرآیندهای پس از رسوب‌گذاری است. عوامل زمین‌شیمی چون عناصر اصلی و فرعی و نسبت‌های آن‌ها به طور گسترده برای تفسیر برخاستگاه و جایگاه زمین‌ساختی سنگ‌های سیلیسی آواری به کار می‌روند. از رفتار زمین‌شیمیایی عناصر فرعی حساس به اکسایش کاهش نیز برای پی بردن به شرایط محیطی حوضه استفاده می‌شود. در این پژوهش، با استفاده از داده‌های عنصری شیل‌های منطقه کوه کمر، برخاستگاه (تفسیر سنگ خاستگاه، محیط زمین‌ساختی و آب و هوای دیرینه) و شرایط زمین‌شناسی ایران طی اؤسن بررسی شد.

زمین‌شناسی منطقه

منطقه مورد بررسی از دیدگاه زمین‌ساختی در منطقه فلیش شرق ایران واقع است [۱۰]. قدیمی‌ترین سنگ‌های این ناحیه واحدهای سنگی وابسته به دوره کرتاسه پیشین هستند. در دوره اؤسن، رسوب‌های رخساره فلیشی شامل ماسه سنگ و



شکل ۱ الف) راههای دسترسی به برش مورد بررسی. ب) بخشی از نقشه زمین‌شناسی $1:100000$ روم که جایگاه برش مورد بررسی بر آن نشان داده شده است (برگرفته از مرجع [۱۱] با تغییرات).



شکل ۲ نماهایی از واحدهای مورد بررسی (دید به سمت شمال شرق).

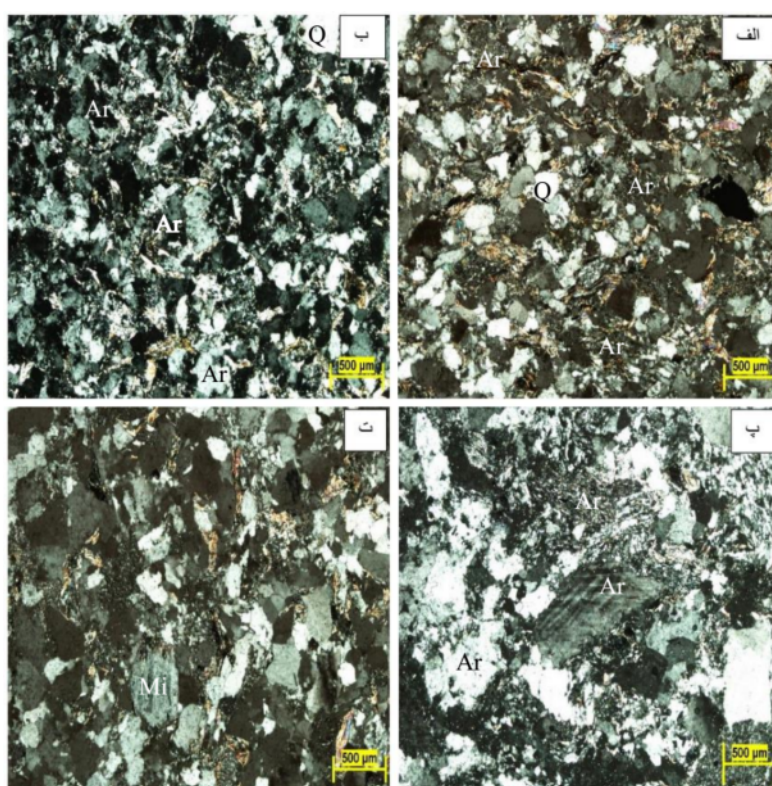
بحث و بررسی

سنگنگاری ماسه سنگ

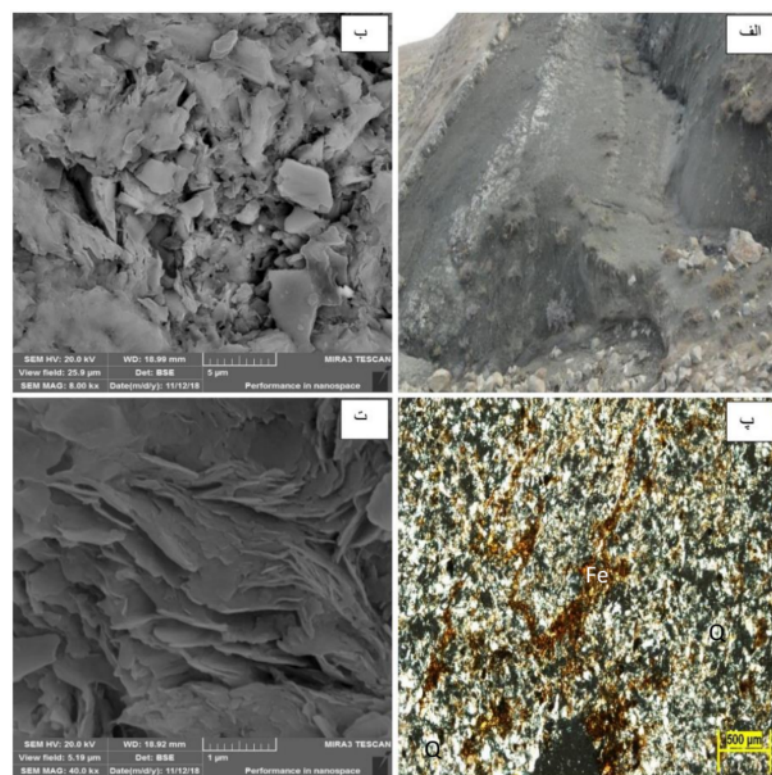
ترکیب اجزای تشکیل دهنده رسوب‌های سیلیسی آواری وابسته به سنگ‌شناسی ناحیه خاستگاه و عملکرد فرایند هوازدگی است که اغلب توسط اقلیم و زمین‌شناسی ناحیه خاستگاه کنترل می‌شود و سنگنگاری آنها اطلاعات مهمی از سنگ اولیه را ارائه می‌کند. ترکیب ۲۰ نمونه از ماسه سنگ‌های منطقه بر اساس بررسی‌های سنگنگاری تعیین شد. به این ترتیب، ماسه سنگ‌های منطقه مورد بررسی در نمودار سه تابی QFR در گستره سنگ رخساره نیمه آركوز و آركوز با تغییرات بین ۰/۱ تا ۰/۶ میلیمتر قرار دارند (شکل ۳). بررسی ویژگی‌های بافتی اجزای تشکیل دهنده ماسه سنگ‌های نشان می‌دهد که در سنگ رخساره آركوز اندازه دانه‌ها ۰/۱۴ تا ۰/۳۶ میلی متر و اجزای تشکیل دهنده شامل کوارتزهای بسبلوری با خاموشی موجی و کوارتز تک بلوری با خاموشی موجی (با میانگین ۷۵ تا ۶۷ درصد) هستند. مقدار بسیار کمتری از اجزای این ماسه سنگ‌ها را به ترتیب فلدسپات بیشتر میکروکلین و ارتوکلаз (با میانگین ۱۵ تا ۳۳ درصد)، میکا و خرددهای سنگی (کمتر از ۵ درصد) تشکیل می‌دهند (شکل‌های ۴ الف و پ). در سنگ رخساره نیمه آركوز، اندازه دانه‌ها ۰/۱۴ تا ۰/۳۶ میلی متر بوده و اجزای تشکیل دهنده شامل کوارتز (به طور متوسط ۸۸ درصد)، فلدسپات از نوع میکروکلین و ارتوکلاز (با میانگین ۱۰ درصد) و مقادیر جزئی پلاژیوکلاز (کمتر از ۳ درصد) به صورت تازه تا دگرسان شده است. سیمان‌های این ماسه سنگ از نوع اکسید آهن و سیلیس است (شکل‌های ۴ ب و ت).

روش بررسی

در این پژوهش، یک برش سطحی به ستبرای ۳۵۴ متر اندازه-گیری و از منطقه مورد بررسی در مجموع ۳۵۰ نمونه ماسه سنگ و شیل برداشت شد. از این میان، ۳۰ نمونه شیل انتخاب شد که نماینده کل منطقه مورد مطالعه هستند. مقدار کربنات کلسیم در سیمان می‌تواند در نمونه‌ها خطا ایجاد کند؛ از این رو، نمونه‌هایی با کمترین مقدار کربنات کلسیم انتخاب شدند. به منظور تعیین اکسیدهای اصلی و فرعی، نمونه‌های پودر شده توسط طیف‌سنج فلئورسانس پرتو ایکس (XRF) فیلیپس مدل PW 1480 در آزمایشگاه تجزیه‌کنندگان کانسارهای بلورین آمتیس خاور تجزیه شدند. به منظور تشخیص کانی‌شناسی رس‌های موجود در شیل‌ها از پراش سنج پرتوی X (XRD) استفاده شد. تعداد ۵ نمونه با کمترین مقدار کربنات انتخاب و پس از پودر شدن به آزمایشگاه کانسارهای بلورین آمتیس ارسال شده و توسط دستگاه Explorer Tcu 2000N تجزیه شدند. برای مطالعات میکروسکوپی، ۲ نمونه شیل کانسارهای بلورین آمتیس نخست در ابعاد کوچک شکسته و با روش طلا پوشیده (SEM) شد و سپس با میکروسکوپ الکترونی روبشی (SEM) مدل LEO 1450Vp مجهز به طیف‌سنج پراش انرژی پرتوی X (EDX) بررسی شدند. برای تعیین سنگ خاستگاه و جایگاه زمین‌ساختی از نسبت اکسیدهای اصلی چون Al_2O_3 , K_2O , SiO_2 , Na_2O و عناصر فرعی و عناصر نادر خاکی استفاده شد. در این پژوهش، برای محاسبه شاخص هوازدگی شیمیایی McLennan (CIA) و شاخص تنوع ترکیبی (ICV) از روش استفاده شد به طوری که به دلیل مقادیر بالای CaO , Al_2O_3 , Na_2O در فرمول به CaO تبدیل می‌شود.



شکل ۳ (الف) سنگ رخساره آرکوز (Q: دانه کوارتز و Ar: دانه فلدسپات آرکوز). (ب) سنگ رخساره نیمه آرکوز (Q: دانه کوارتز و Ar: دانه فلدسپات آرکوز). (ت) دانه فلدسپات میکروکلین (Mi) در سنگ رخساره آرکوز [۱۲]. (پ) دانه های آرکوز در سنگ رخساره آرکوز (Ar). (د) دانه فلدسپات آرکوز (Ar) در سنگ رخساره آرکوز [۱۲].



شکل ۴ (الف) سنگ رخساره شیل. (ب) تصویر SEM از سنگ رخساره شیل که نشان دهنده کانی های رسی کلریت است. (پ) سنگ رخساره لای سنگ که دارای کوارتز (Q) و سیمان اکسید اهن (Fe) است. (ت) تصویر SEM که نشان دهنده کانی های رسی ایلیت در سنگ رخساره لای سنگ است.

($K_2O \times 100$) و نیز شاخص دگرسانی پلاژیوکلازها ($PIA = (Al_2O_3 - K_2O) / (Al_2O_3 + CaO + Na_2O \times 100)$) در شیل‌های مورد بررسی بدست آمدند.

کانی‌شناسی

بر اساس نتایج XRD، کانی‌های سازنده شیل‌های منطقه در نمونه‌های مورد بررسی به ترتیب فراوانی شامل کوارتزهای نیمه زاویه‌دار تا نیمه گردشده، فلدسپار و کانی‌های ورقه‌ای (ایلیت، کلریت و مسکوویت) هستند (شکل ۶). ترکیب اکسیدهای اصلی و عناصر فرعی شیل‌های منطقه بهنجار شده با ترکیب پوسته قاره‌ای بالایی در نمودارهای عنکبوتی آورده شده است (شکل ۷). بر اساس نمودار تهی شدگی - غنی شدگی عناصر اصلی در شیل‌ها نسبت به میانگین (شکل ۴)، Ba , P_2O_5 , Na_2O , CaO , Co , Ni , K_2O و Th , Na_2O و Nb تهی شدگی و TiO_2 , Al_2O_3 و SiO_2 , Fe_2O_3 ناشی از عدم هوازدگی شدید و همچنین عدم حمل دوباره رسوب‌هاست [۴-۶]. تهی شدگی SiO_2 نشان دهنده بلوغ پایین شیل‌های منطقه است [۴-۶]. تهی شدگی Na_2O به دلیل پایداری کم در فرآیندهای ترابری بوده که سبب از بین رفتن آن‌ها شده است. میانگین CaO در نمونه‌ها تقریباً ۳ برابر مقدار CaO در پوسته قاره‌ای بالایی است که نشانگر سیمان کربناتی در نمونه‌های در نمونه‌ها شده است. کاهش مقادیر SiO_2 و Al_2O_3 در نمونه‌ها شده است.

سنگنگاری شیل‌ها

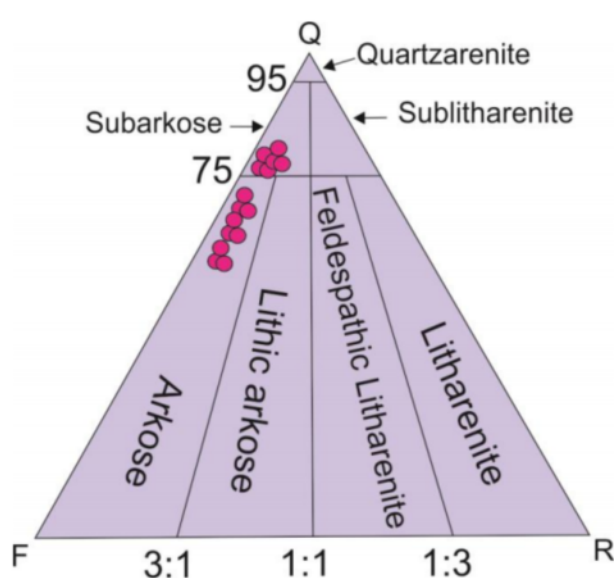
شیل‌ها از دو سنگ رخساره تشکیل شده‌اند، که هر دو بدون فسیل هستند. آنها سبز و خاکستری رنگ بوده (شکل ۵ (الف)) و بر اساس نتایج SEM، شامل کانی‌های رسی ایلیت و کلریت هستند (شکل ۵ (ب)).

سنگ رخساره لای سنگ

این سنگ رخساره شامل لای سنگ‌های خاکستری رنگ دارای دانه‌های کوارتز، فلدسپات و سیمان سیلیسی و اکسید آهن است (شکل‌های ۵ (پ) و (ت)).

تجزیه اکسیدها

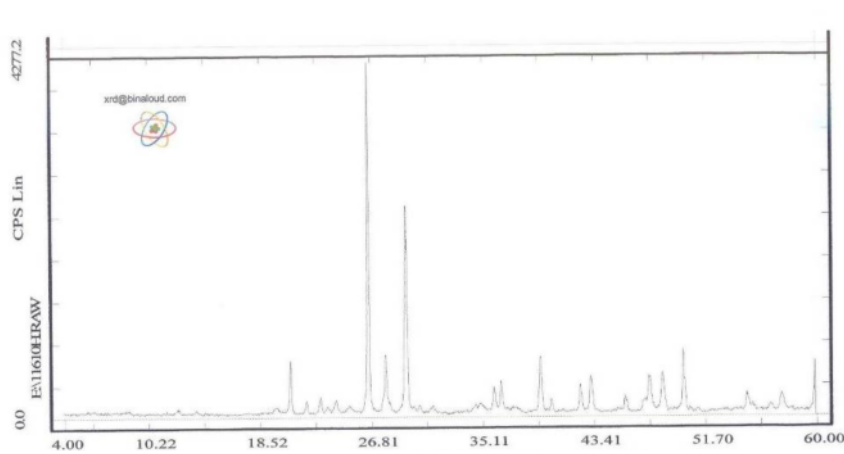
نتایج تجزیه شیل‌های منطقه در جدول‌های ۱ و ۲ ارائه شده است. این شیل‌ها دارای 46.90% درصد SiO_2 , 9.59% درصد MgO , 1.96% درصد Na_2O , 1.57% درصد Al_2O_3 , 0.70% درصد TiO_2 , 0.06% درصد K_2O , 0.52% درصد MnO , 0.11% درصد Fe_2O_3 و 4.98% درصد P_2O_5 هستند. مقادیر نسبت‌های SiO_2/Al_2O_3 برابر با 5.59 تا 3.89 و به طور میانگین 0.08 درصد، K_2O/Na_2O برابر با 0.03 تا 0.08 و به طور میانگین 0.24 درصد، K_2O/Al_2O_3 برابر با 0.12 تا 0.16 و به طور میانگین 0.16 درصد، Al_2O_3/TiO_2 برابر با 0.22 تا 0.21 و به طور میانگین 0.44 درصد و مقدار Na_2O برابر با 0.27 تا 0.37 و به طور میانگین 0.24 درصد است. شاخص هواردگی ($CIA = Al_2O_3/Al_2O_3 + CaO + Na_2O + SiO_2$)



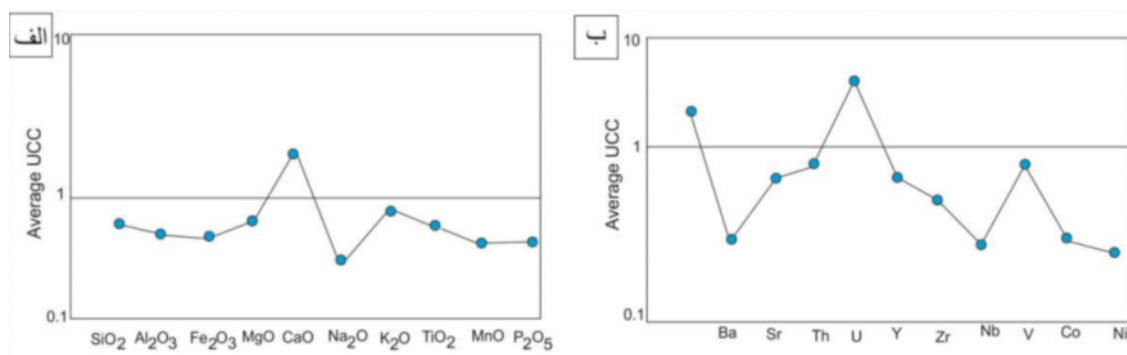
شکل ۵ رده‌بندی ماسه سنگ‌ها بر اساس نتایج فولک [۱۲]. نمونه‌های ماسه سنگی در گستره آركوز و نیمه آركوز قرار دارند.

جدول ۱ نتایج تجزیه اکسیدهای اصلی شیل‌های منطقه (بر حسب % wt).

شماره نمونه	P ₂ O ₅	TiO ₂	MnO	K ₂ O	Na ₂ O	CaO	Fe ₂ O ₃	Al ₂ O ₃	SiO ₂
۱	۰.۱	۰.۵۲۴	۰.۱۰۷	۱.۸۸	۱.۰۶	۲۲.۶۲	۴.۳۰	۷.۳۸	۴۳.۲۹
۲	۰.۱۰۶	۰.۶۶۱	۰.۰۸۳	۲.۱۵	۰.۴۴	۱۵.۶۵	۵.۹۶	۱۰.۷۵	۴۶.۸۵
۳	۰.۰۹۴	۰.۰۸۷	۰.۰۸۷	۲.۱۳	۱.۰۰	۱۷.۷۸	۴.۸۳	۸.۲۰	۴۸.۹۸
۴	۰.۱۰۳	۰.۰۹۰	۰.۰۹۰	۲.۲۰	۱.۰۶	۱۶.۸۴	۴.۴۱	۸.۲۱	۵۱.۳۳
۵	۰.۰۹۹	۰.۰۷۹	۰.۰۷۹	۲.۱۸	۰.۹۱	۱۶.۷۱	۴.۴۶	۸.۹۱	۴۸.۷۵
۶	۰.۱۰۴	۰.۰۸۷	۰.۰۸۷	۲.۳۶	۰.۸۸	۱۵.۰۴	۴.۷۷	۹.۴۴	۴۹.۶۱
۷	۰.۱۰۶	۰.۰۷۴	۰.۰۷۴	۲.۶۳	۰.۸۷	۱۵.۰۷	۵.۸۲	۹.۴۹	۴۹.۶۱
۸	۰.۰۷۵	۰.۰۷۳	۰.۰۷۳	۴.۴۵	۰.۴۵	۱۶.۹۲	۸.۷۴	۸.۰۴	۳۸.۰۴
۹	۰.۱۰۷	۰.۰۴۸	۰.۰۴۸	۲.۱۱	۰.۷۷	۱۱.۱۰	۶.۱۳	۱۱.۴۵	۵۰.۱۱
۱۰	۰.۰۹۳	۰.۰۹۳	۰.۰۹۳	۲.۴۱	۰.۴۷	۲۰.۳۱	۴.۲۱	۷.۲۲	۴۴.۱۶
۱۱	۰.۰۹۰	۰.۰۲۸	۰.۰۲۸	۲.۶۵	۰.۵۸	۱۳.۳۵	۶.۱۲	۱۲.۲۵	۴۹.۵۵
۱۲	۰.۰۹۹	۰.۰۸۶	۰.۰۸۶	۱.۸۴	۰.۴۸	۱۶.۸۰	۴.۶۷	۹.۴۷	۴۸.۰۴
۱۳	۰.۰۷۰	۰.۰۵۵	۰.۰۵۵	۴.۶۸	۰.۳۸	۱۷.۳۵	۲.۷۵	۸.۰۵	۴۰.۸۵
۱۴	۰.۰۸۷	۰.۰۴۹	۰.۰۴۹	۱.۲۸	۰.۵۱	۳۲.۱۲	۴.۷۵	۸.۴۵	۴۸.۸۰
۱۵	۰.۰۹۳	۰.۰۷۹	۰.۰۷۹	۱.۰۲	۰.۷۲	۱۷.۷۹	۴.۳۶	۸.۱۸	۴۸.۸۰
۱۶	۰.۱۱۴	۰.۰۸۹	۰.۰۸۹	۱.۱۲	۰.۵۹	۱۶.۷۴	۴.۹۷	۹.۴۹	۴۷.۶۹
۱۷	۰.۰۹۰	۰.۰۷۴	۰.۰۷۴	۱.۰۳	۰.۷۸	۱.۳۱	۱.۷۸	۴.۸۳	۴۸.۹۸
۱۸	۰.۱۰۳	۰.۰۷۳	۰.۰۷۳	۲.۱۳	۰.۷۷	۱۶.۹۲	۸.۷۴	۸.۰۴	۳۸.۰۴
۱۹	۰.۱۰۳	۰.۰۷۳	۰.۰۷۳	۲.۱۱	۰.۷۷	۱۱.۱۰	۶.۱۳	۱۱.۴۵	۵۰.۱۱
۲۰	۰.۰۹۰	۰.۰۷۷	۰.۰۷۷	۲.۳۶	۰.۷۸	۱۷.۳۵	۴.۳۶	۸.۱۸	۴۹.۵۵
۲۱	۰.۰۹۰	۰.۰۷۷	۰.۰۷۷	۲.۳۶	۰.۷۸	۱۷.۳۵	۴.۳۶	۸.۱۸	۴۹.۵۵
۲۲	۰.۰۷۰	۰.۰۵۵	۰.۰۵۵	۱.۲۸	۰.۵۱	۳۲.۱۲	۴.۷۵	۸.۴۵	۴۰.۸۵
۲۳	۰.۰۹۳	۰.۰۷۹	۰.۰۷۹	۱.۰۲	۰.۷۲	۱۷.۷۹	۴.۳۶	۸.۱۸	۴۸.۸۰
۲۴	۰.۰۹۰	۰.۰۷۷	۰.۰۷۷	۱.۰۳	۰.۷۸	۱.۳۱	۱.۷۸	۴.۸۳	۴۸.۹۸
۲۵	۰.۱۰۳	۰.۰۷۳	۰.۰۷۳	۲.۱۳	۰.۷۷	۱۶.۹۲	۸.۷۴	۸.۰۴	۳۸.۰۴
۲۶	۰.۰۹۰	۰.۰۷۷	۰.۰۷۷	۲.۱۱	۰.۷۷	۱۱.۱۰	۶.۱۳	۱۱.۴۵	۵۰.۱۱
۲۷	۰.۰۹۰	۰.۰۷۷	۰.۰۷۷	۲.۳۶	۰.۷۸	۱۷.۳۵	۴.۳۶	۸.۱۸	۴۹.۵۵
۲۸	۰.۰۹۰	۰.۰۷۷	۰.۰۷۷	۲.۳۶	۰.۷۸	۱۷.۳۵	۴.۳۶	۸.۱۸	۴۹.۵۵
۲۹	۰.۰۹۰	۰.۰۷۷	۰.۰۷۷	۲.۳۶	۰.۷۸	۱۷.۳۵	۴.۳۶	۸.۱۸	۴۹.۵۵
۳۰	۰.۰۹۰	۰.۰۷۷	۰.۰۷۷	۲.۳۶	۰.۷۸	۱۷.۳۵	۴.۳۶	۸.۱۸	۴۹.۵۵
۳۱	۰.۰۹۰	۰.۰۷۷	۰.۰۷۷	۲.۳۶	۰.۷۸	۱۷.۳۵	۴.۳۶	۸.۱۸	۴۹.۵۵
۳۲	۰.۰۹۰	۰.۰۷۷	۰.۰۷۷	۲.۳۶	۰.۷۸	۱۷.۳۵	۴.۳۶	۸.۱۸	۴۹.۵۵
۳۳	۰.۰۹۰	۰.۰۷۷	۰.۰۷۷	۲.۳۶	۰.۷۸	۱۷.۳۵	۴.۳۶	۸.۱۸	۴۹.۵۵
۳۴	۰.۰۹۰	۰.۰۷۷	۰.۰۷۷	۲.۳۶	۰.۷۸	۱۷.۳۵	۴.۳۶	۸.۱۸	۴۹.۵۵
۳۵	۰.۰۹۰	۰.۰۷۷	۰.۰۷۷	۲.۳۶	۰.۷۸	۱۷.۳۵	۴.۳۶	۸.۱۸	۴۹.۵۵
۳۶	۰.۰۹۰	۰.۰۷۷	۰.۰۷۷	۲.۳۶	۰.۷۸	۱۷.۳۵	۴.۳۶	۸.۱۸	۴۹.۵۵
۳۷	۰.۰۹۰	۰.۰۷۷	۰.۰۷۷	۲.۳۶	۰.۷۸	۱۷.۳۵	۴.۳۶	۸.۱۸	۴۹.۵۵
۳۸	۰.۰۹۰	۰.۰۷۷	۰.۰۷۷	۲.۳۶	۰.۷۸	۱۷.۳۵	۴.۳۶	۸.۱۸	۴۹.۵۵
۳۹	۰.۰۹۰	۰.۰۷۷	۰.۰۷۷	۲.۳۶	۰.۷۸	۱۷.۳۵	۴.۳۶	۸.۱۸	۴۹.۵۵
۴۰	۰.۰۹۰	۰.۰۷۷	۰.۰۷۷	۲.۳۶	۰.۷۸	۱۷.۳۵	۴.۳۶	۸.۱۸	۴۹.۵۵
۴۱	۰.۰۹۰	۰.۰۷۷	۰.۰۷۷	۲.۳۶	۰.۷۸	۱۷.۳۵	۴.۳۶	۸.۱۸	۴۹.۵۵
۴۲	۰.۰۹۰	۰.۰۷۷	۰.۰۷۷	۲.۳۶	۰.۷۸	۱۷.۳۵	۴.۳۶	۸.۱۸	۴۹.۵۵
۴۳	۰.۰۹۰	۰.۰۷۷	۰.۰۷۷	۲.۳۶	۰.۷۸	۱۷.۳۵	۴.۳۶	۸.۱۸	۴۹.۵۵
۴۴	۰.۰۹۰	۰.۰۷۷	۰.۰۷۷	۲.۳۶	۰.۷۸	۱۷.۳۵	۴.۳۶	۸.۱۸	۴۹.۵۵
۴۵	۰.۰۹۰	۰.۰۷۷	۰.۰۷۷	۲.۳۶	۰.۷۸	۱۷.۳۵	۴.۳۶	۸.۱۸	۴۹.۵۵
۴۶	۰.۰۹۰	۰.۰۷۷	۰.۰۷۷	۲.۳۶	۰.۷۸	۱۷.۳۵	۴.۳۶	۸.۱۸	۴۹.۵۵
۴۷	۰.۰۹۰	۰.۰۷۷	۰.۰۷۷	۲.۳۶	۰.۷۸	۱۷.۳۵	۴.۳۶	۸.۱۸	۴۹.۵۵
۴۸	۰.۰۹۰	۰.۰۷۷	۰.۰۷۷	۲.۳۶	۰.۷۸	۱۷.۳۵	۴.۳۶	۸.۱۸	۴۹.۵۵
۴۹	۰.۰۹۰	۰.۰۷۷	۰.۰۷۷	۲.۳۶	۰.۷۸	۱۷.۳۵	۴.۳۶	۸.۱۸	۴۹.۵۵
۵۰	۰.۰۹۰	۰.۰۷۷	۰.۰۷۷	۲.۳۶	۰.۷۸	۱۷.۳۵	۴.۳۶	۸.۱۸	۴۹.۵۵
۵۱	۰.۰۹۰	۰.۰۷۷	۰.۰۷۷	۲.۳۶	۰.۷۸	۱۷.۳۵	۴.۳۶	۸.۱۸	۴۹.۵۵
۵۲	۰.۰۹۰	۰.۰۷۷	۰.۰۷۷	۲.۳۶	۰.۷۸	۱۷.۳۵	۴.۳۶	۸.۱۸	۴۹.۵۵
۵۳	۰.۰۹۰	۰.۰۷۷	۰.۰۷۷	۲.۳۶	۰.۷۸	۱۷.۳۵	۴.۳۶	۸.۱۸	۴۹.۵۵
۵۴	۰.۰۹۰	۰.۰۷۷	۰.۰۷۷	۲.۳۶	۰.۷۸	۱۷.۳۵	۴.۳۶	۸.۱۸	۴۹.۵۵
۵۵	۰.۰۹۰	۰.۰۷۷	۰.۰۷۷	۲.۳۶	۰.۷۸	۱۷.۳۵	۴.۳۶	۸.۱۸	۴۹.۵۵
۵۶	۰.۰۹۰	۰.۰۷۷	۰.۰۷۷	۲.۳۶	۰.۷۸	۱۷.۳۵	۴.۳۶	۸.۱۸	۴۹.۵۵
۵۷	۰.۰۹۰	۰.۰۷۷	۰.۰۷۷	۲.۳۶	۰.۷۸	۱۷.۳۵	۴.۳۶	۸.۱۸	۴۹.۵۵
۵۸	۰.۰۹۰	۰.۰۷۷	۰.۰۷۷	۲.۳۶	۰.۷۸	۱۷.۳۵	۴.۳۶	۸.۱۸	۴۹.۵۵
۵۹	۰.۰۹۰	۰.۰۷۷	۰.۰۷۷	۲.۳۶	۰.۷۸	۱۷.۳۵	۴.۳۶	۸.۱۸	۴۹.۵۵
۶۰	۰.۰۹۰	۰.۰۷۷	۰.۰۷۷	۲.۳۶	۰.۷۸	۱۷.۳۵	۴.۳۶	۸.۱۸	۴۹.۵۵
۶۱	۰.۰۹۰	۰.۰۷۷	۰.۰۷۷	۲.۳۶	۰.۷۸	۱۷.۳۵	۴.۳۶	۸.۱۸	۴۹.۵۵
۶۲	۰.۰۹۰	۰.۰۷۷	۰.۰۷۷	۲.۳۶	۰.۷۸	۱۷.۳۵	۴.۳۶	۸.۱۸	۴۹.۵۵
۶۳	۰.۰۹۰	۰.۰۷۷	۰.۰۷۷	۲.۳۶	۰.۷۸	۱۷.۳۵	۴.۳۶	۸.۱۸	۴۹.۵۵
۶۴	۰.۰۹۰	۰.۰۷۷	۰.۰۷۷	۲.۳۶	۰.۷۸	۱۷.۳۵	۴.۳۶	۸.۱۸	۴۹.۵۵
۶۵	۰.۰۹۰	۰.۰۷۷	۰.۰۷۷	۲.۳۶	۰.۷۸	۱۷.۳۵	۴.۳۶	۸.۱۸	۴۹.۵۵
۶۶	۰.۰۹۰	۰.۰۷۷	۰.۰۷۷	۲.۳۶	۰.۷۸	۱۷.۳۵	۴.۳۶	۸.۱۸	۴۹.۵۵
۶۷	۰.۰۹۰	۰.۰۷۷	۰.۰۷۷	۲.۳۶	۰.۷۸	۱۷.۳۵	۴.۳۶	۸.۱۸	۴۹.۵۵
۶۸	۰.۰۹۰	۰.۰۷۷	۰.۰۷۷	۲.۳۶	۰.۷۸	۱۷.۳۵	۴.۳۶	۸.۱۸	۴۹.۵۵
۶۹	۰.۰۹۰	۰.۰۷۷	۰.۰۷۷	۲.۳۶	۰.۷۸	۱۷.۳۵	۴.۳۶	۸.۱۸	۴۹.۵۵
۷۰	۰.۰۹۰	۰.۰۷۷	۰.۰۷۷	۲.۳۶	۰.۷۸	۱۷.۳۵	۴.۳۶	۸.۱۸	۴۹.۵۵
۷۱	۰.۰۹۰	۰.۰۷۷	۰.۰۷۷	۲.۳۶	۰.۷۸	۱۷.۳۵	۴.۳۶	۸.۱۸	۴۹.۵۵
۷۲	۰.۰۹۰	۰.۰۷۷	۰.۰۷۷	۲.۳۶	۰.۷۸	۱۷.۳۵	۴.۳۶	۸.۱۸	۴۹.۵۵
۷۳	۰.۰۹۰	۰.۰۷۷	۰.۰۷۷	۲.۳۶	۰.۷۸	۱۷.۳۵	۴.۳۶	۸.۱۸	۴۹.۵۵
۷۴	۰.۰۹۰	۰.۰۷۷	۰.۰۷۷	۲.۳۶	۰.۷۸	۱۷.۳۵	۴.۳۶	۸.۱۸	۴۹.۵۵
۷۵	۰.۰۹۰	۰.۰۷۷	۰.۰۷۷	۲.۳۶	۰.۷۸	۱۷.۳۵	۴.۳۶	۸.۱۸	۴۹.۵۵
۷۶	۰.۰۹۰	۰.۰۷۷	۰.۰۷۷	۲.۳۶	۰.۷۸	۱۷.۳۵	۴.۳۶	۸.۱۸	۴۹.۵۵
۷۷	۰.۰۹۰	۰.۰۷۷	۰.۰۷۷	۲.۳۶	۰.۷۸	۱۷.۳۵	۴.۳۶	۸.۱۸	۴۹.۵۵
۷۸	۰.۰۹۰	۰.۰۷۷	۰.۰۷۷	۲.۳۶	۰.۷۸	۱۷.۳۵	۴.۳۶	۸.۱۸	۴۹.۵۵
۷۹	۰.۰۹۰	۰.۰۷۷	۰.۰۷۷	۲.۳۶	۰.۷۸	۱۷.۳۵	۴.۳۶	۸.۱۸	۴۹.۵۵
۸۰	۰.۰۹۰	۰.۰۷۷	۰.۰۷۷	۲.۳۶	۰.۷۸	۱۷.۳۵	۴.۳۶	۸.۱۸	۴۹.۵۵



شکل ۶ الگوی XRD شیل‌های منطقه مورد بررسی که نشان دهنده فازهای اصلی کوارتز، فلدسپار و کانی‌های فرعی ایلیت و کلریت است.



شکل ۷ نمودار تهی شدگی و غنی شدگی اکسید عناصر اصلی (الف) و فرعی (ب) نسبت به شیل میانگین.

نشان دهنده قرارگیری آنها در گستره ترکیب شیل‌های پیدا زیستی است (شکل ۹). کانی‌های رسی در این شیل‌ها کنترل کننده ترکیب عناصر اصلی هستند که با افزایش مقدار سیلیسی، رقیق شدگی در آنها ایجاد می‌شود.

سنگ خاستگاه

بسیاری از پژوهشگران ترکیب شیمیایی سنگ‌های رسوبی سیلیسی آواری را در ارتباط با تاحیه خاستگاه تفسیر کرده‌اند [۱۸-۱۳]. برای تفکیک رسوب‌هایی که خاستگاه اولیه آنها سنگ‌های آذرین مافیک، حد واسطه یا فلزیک و یا رسوب‌های دارای کوارتز هستند از نمودار تفکیک‌کننده تابعی مرجع [۱۹] استفاده شد. توابع تفکیکی مورد استفاده در این نمودار به صورت زیر است:

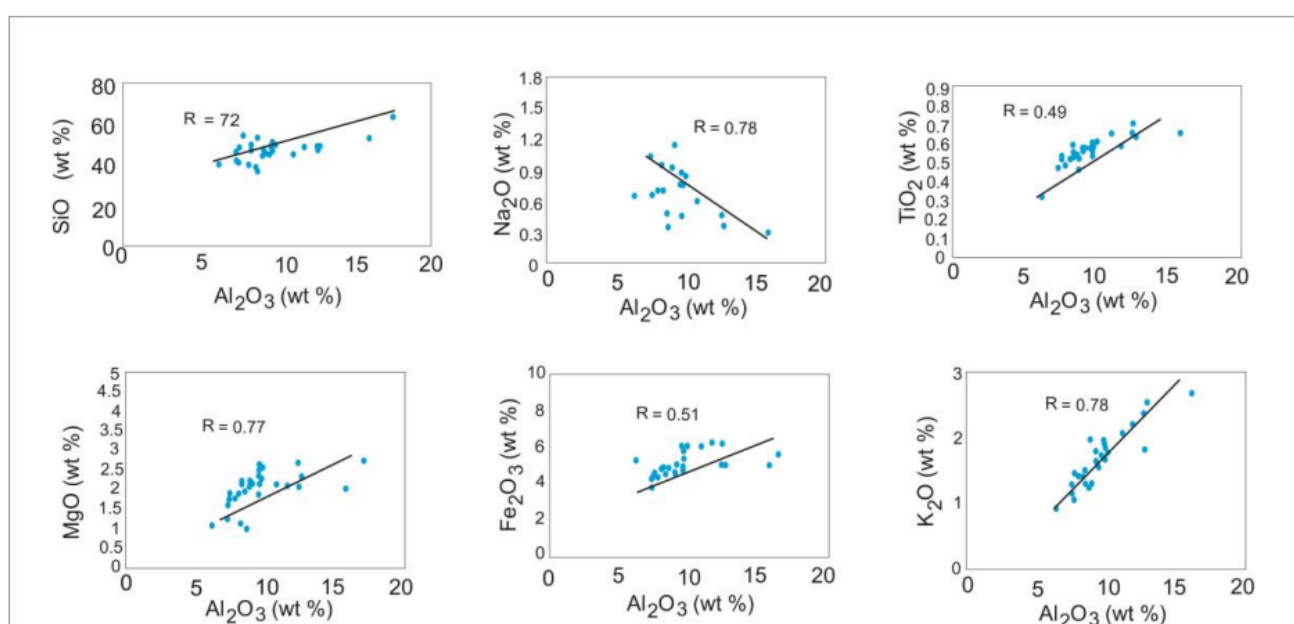
$$\text{func 1} = (-1.773 \times \text{TiO}_2\%) + (0.607 \times \text{Al}_2\text{O}_3\%) + (0.76 \times \text{Fe}_2\text{O}_3\%) + (-1.5 \times \text{MgO}\%) + (0.616 \times \text{CaO}\%) + (0.509 \times \text{Na}_2\text{O}\%) + (-1.22 \times \text{K}_2\text{O}\%) + (-9.09) \quad (1)$$

پایداری Al_2O_3 طی هوازدگی و درونزایی بالاست. بنابراین می‌توان از آن به عنوان عاملی برای مقایسه با اکسید دیگر عناصر اصلی استفاده کرد. تغییرات عناصر اصلی نسبت به Al_2O_3 در نمونه‌های مورد بررسی در شکل ۸ نشان داده شده است. Al_2O_3 با MgO و SiO_2 , K_2O , TiO_2 , Fe_2O_3 انتطاق مثبت و O با Al_2O_3 انتطاق منفی نشان می‌دهند. افزایش SiO_2 با افزایش Al_2O_3 ناشی از وجود کم کوارتز و نبود بلوغ ترکیبی بالاست. حضور Na_2O به علت حضور پلازیوکلازهای سدیم‌دار در سنگ خاستگاه است [۶،۵]. پیروی بیشتر اکسیدها از روند Al_2O_3 نشان دهنده تمرکز و فراوانی کانی‌های رسی چون ایلیت است که با نتایج XRD نیز تایید شده است. با توجه به ارتباط مستقیم TiO_2 با Al_2O_3 , خاستگاه تیتانیوم در نمونه‌ها را می‌توان به حضور کانی‌های رسی یا تجزیه کانی‌های مافیک موجود در سنگ‌های آذرین حدواتسط نسبت داد [۶,۱۳]. همبستگی مثبت بین Al_2O_3 و TiO_2 نشان از همراهی TiO_2 با فیلوسیلیکات‌هایی چون ایلیت دارد. نمودار $\text{SiO}_2/\text{Al}_2\text{O}_3$ نسبت به $\text{K}_2\text{O}/\text{Na}_2\text{O}$ برای شیل‌های منطقه،

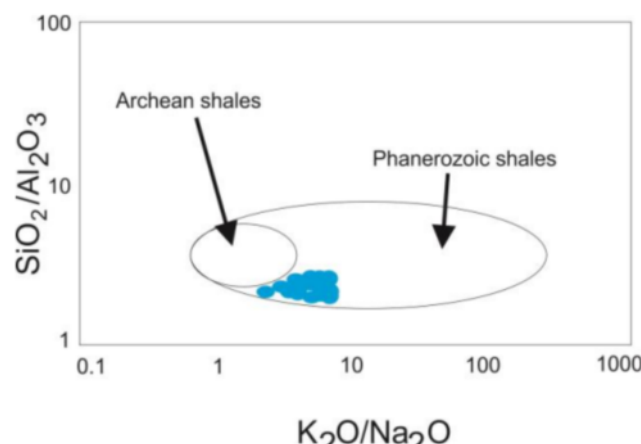
[۲۰] نشان دهنده ترکیب گرانودیوریتی و کمتر بازالتی است (شکل ۱۰ ب). همچنین نمودار سه تایی Al_2O_3 -($\text{CaO}+\text{Na}_2\text{O}+\text{K}_2\text{O}$)-($\text{FeO}+\text{MgO}$) نمونه‌ها در نزدیکی کانی رسی ایلیت و اسمکتیت را نشان می‌دهد (شکل ۱۰ پ). از این رو، به طور کلی یک سنگ خاستگاه آذرین حد واسطه برای شیل‌های منطقه پیشنهاد می‌شود [۴]. در نمودار سه تایی ($\text{MgO}+\text{TiO}_2+\text{FeO}$)-($\text{K}_2\text{O}+\text{Na}_2\text{O}$)-($\text{SiO}_2/20$), نمونه‌های شیلی با یک روند خطی از آندزیت تا داسیت قرار دارند که بیانگر یک سنگ خاستگاه حد واسطه و تا حدی بازیک است (شکل ۱۰ ت).

$$\text{func} = (0.445 \times \text{TiO}_2\%) + (0.07 \times \text{Al}_2\text{O}_3\%) + (-0.25 \times \text{Fe}_2\text{O}_3\%) + (-1.142 \times \text{MgO}\%) + (0.432 \times \text{Na}_2\text{O}\%) + (1.426 \times \text{K}_2\text{O}\%) + (-6.861). \quad (۲)$$

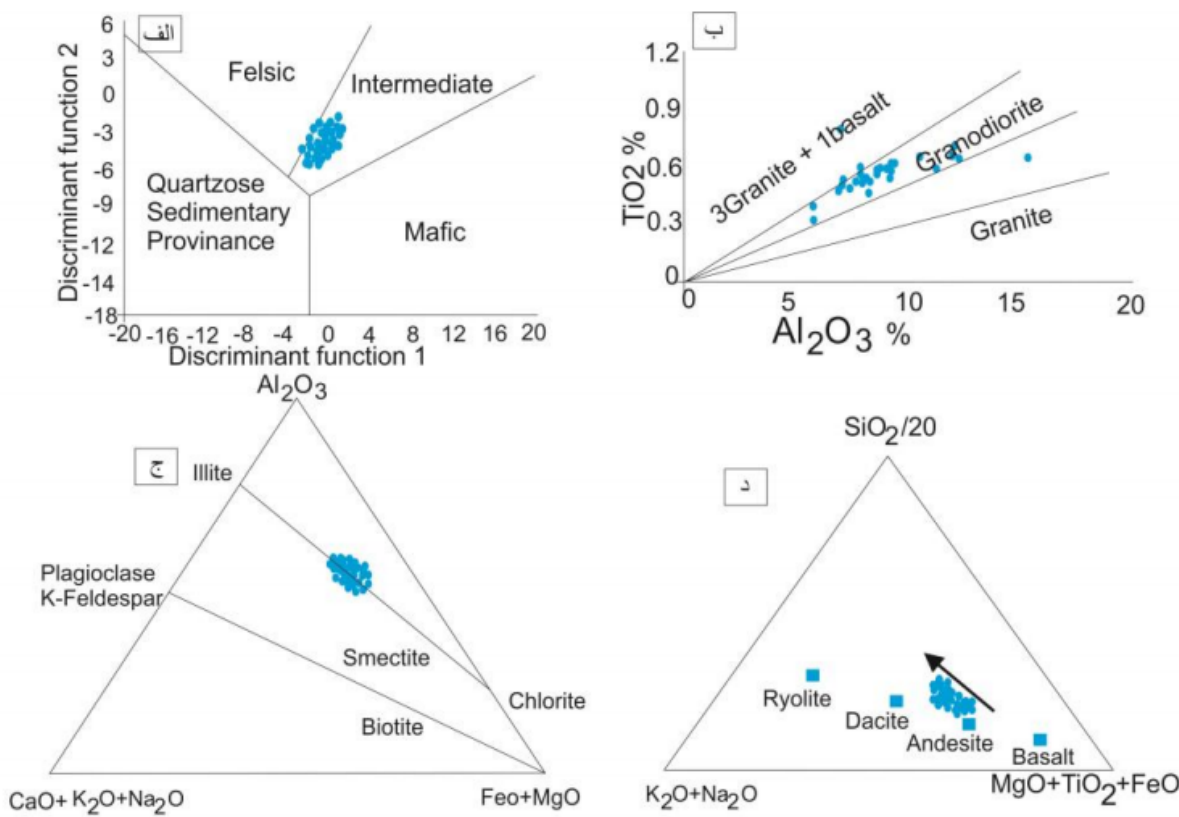
با رسم داده اکسیدهای نمونه‌های مورد بررسی، بیشتر نمونه‌ها در گستره آذرین حد واسطه و تا حدی فلزیک قرار می‌گیرند (شکل ۱۰ الف). از سوی دیگر، از آنجا که دو عنصر آلومینیوم و تیتانیوم نسبت به دیگر عناصر نامتحرك‌تر هستند، بنابراین از نمودار دو متغیره TiO_2 - Al_2O_3 برای تعیین میزان مشارکت دو خاستگاه تشکیل گراناتیت یا بازالت استفاده می‌شود. نمودار Al_2O_3 نسبت به TiO_2 برای تعیین ترکیب سنگ خاستگاه



شکل ۸ نمودارهای پراکندگی تغییرات اکسیدهای اصلی نسبت به Al_2O_3 در شیل‌های منطقه.



شکل ۹ نمودار $\text{SiO}_2/\text{Al}_2\text{O}_3$ نسبت به $\text{K}_2\text{O}/\text{Na}_2\text{O}$ برای شیل‌های منطقه [۱۴].



شکل ۱۰. (الف) نمودار تابعی مشخص کننده برخاستگاه شیل با استفاده از اکسیدهای عناصر اصلی [۱۹]. (ب) نمودار TiO_2 نسبت به $(\text{SiO}_2/20)$, (Al_2O_3), ($\text{CaO}+\text{Na}_2\text{O}+\text{K}_2\text{O}$), ($\text{FeO}+\text{MgO}$) [۲۰]. (پ) نمودار سه تایی (Al_2O_3), ($\text{CaO}+\text{Na}_2\text{O}+\text{K}_2\text{O}$), ($\text{FeO}+\text{MgO}$) [۲۰]. (ت) نمودار سه تایی ($\text{SiO}_2/20$), ($\text{K}_2\text{O}+\text{Na}_2\text{O}$), ($\text{MgO}+\text{TiO}_2+\text{FeO}$) [۲۰].

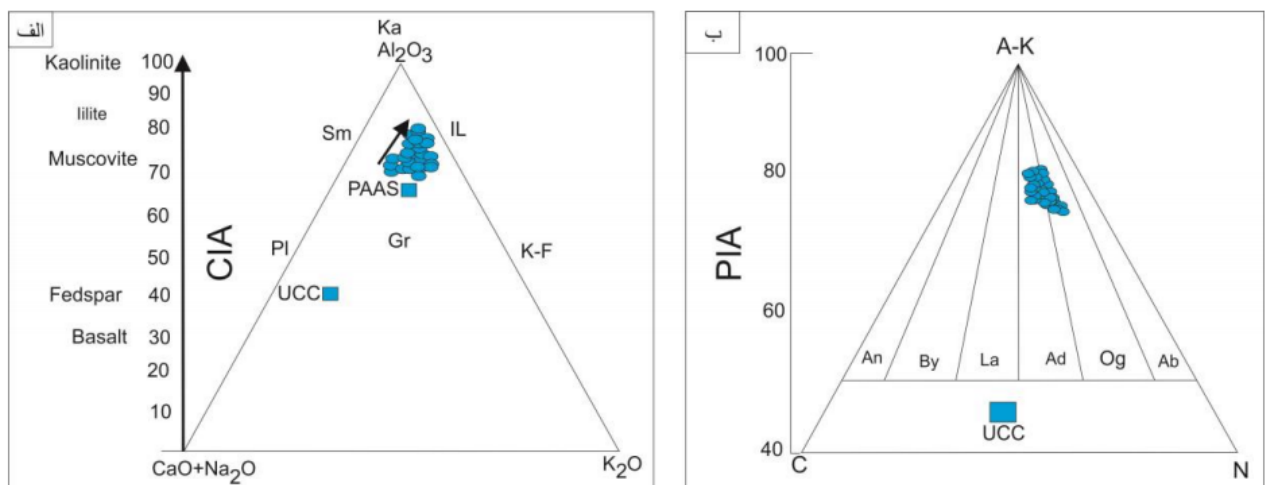
عناصر سدیم و پتاسیم، راستا موازی خط A-CN است [۲۵]. با ادامه هوازدگی، فلدسپات پتاسیم تجزیه شده و پتاسیم آزاد می‌گردد و ترکیب باقی مانده به سمت Al_2O_3 کشیده می‌شود. در هر حال، همه نمونه‌های مورد بررسی در نزدیکی خط $\text{Al}_2\text{O}_3-\text{Al}_2\text{O}_3-\text{K}_2\text{O}$ و به سمت Al_2O_3 قرار دارند که بیانگر شرایط هوازدگی متوسط در ناحیه خاستگاه است. نسبت $\text{Al}_2\text{O}_3/\text{TiO}_2$ کمتر از ۲۰ برای شرایط آب و هوایی خشک و نیمه خشک و بیشتر از ۳۰ برای شرایط آب و هوایی مرتبط به عنوان یک شاخص آب و هوایی برای ناحیه خاستگاه در نظر گرفته می‌شود [۲۶]. میانگین این نسبت برای شیل‌های منطقه ۱۰/۷۸ بوده که بیانگر شرایط آب و هوایی خشک و نیمه خشک برای ناحیه خاستگاه است. بنابراین شرایط هوازدگی بازتاب دهنده پایداری یا ناپایداری زمین‌ساختی حوضه و شرایط رطوبت نسبی اقلیمی است [۲۶]. تعیین درجه دگرسانی پلازیوکلازها در ناحیه خاستگاه توسط شاخص دگرسانی

هوازدگی ناحیه خاستگاه

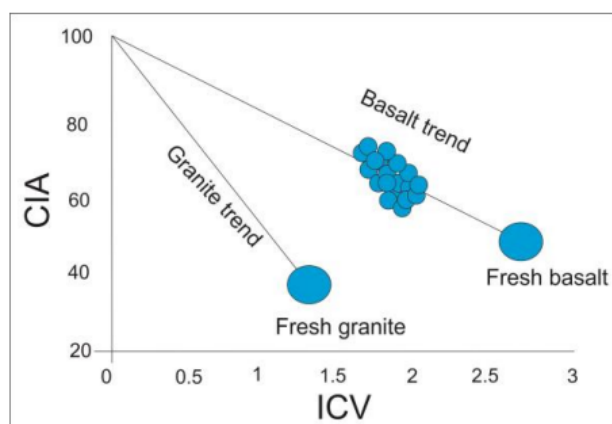
یکی از روش‌های تعیین درجه شیمیایی در سنگ‌های ناحیه خاستگاه استفاده از شاخص هوازدگی شیمیایی (CIA) است [۲۲، ۲۱]. مقدار CIA در شیل‌های مورد بررسی پراکندگی چندانی نشان نمی‌دهد و دارای میانگین ۷۱/۵ درصد است. این شاخص بازتابی از حذف نشدن کاتیون‌های نایاب‌دار (مانند پتاسیم، سدیم و کلسیم) نسبت به اجزای پایدار (مانند تیتانیم و آلومنیم) [۲۴، ۲۳] و نشان‌دهنده هوازدگی شیمیایی ضعیف تا متوسط در ناحیه خاستگاه است. مقادیر به دست آمده نیز با مشاهدات سنگ‌نگاری ماسه سنگ‌های منطقه که بلوغ ترکیبی بالایی ندارند و شامل کوارتزهای بسبور با پلازیوکلاز و فلدسپار پتاسیم هستند همخوانی دارد. روند هوازدگی نمونه‌های مورد بررسی بر نمودار سه تایی C-N-K [۲۵] با یک روند خطی از A-CN به سوی ایلیت گسترش یافته است (شکل ۱۱ الف). طی مراحل اولیه هوازدگی به خاطر تجزیه پلازیوکلاز و حذف

با درصد بالای کانی‌های سیلیکاتی و بدون کانی‌های رسی است؛ در حالی که برای سنگ‌های رسی بالغ با کانی رسی فراوان، این شاخص کمتر از ۱ است [۲۹]. میانگین ICV به دست آمده برای شیل‌ها ۲/۱ است که نشان‌دهنده سنگ‌های رسی نبالغ و دارای کانی‌های رسی به احتمال بسیار از نوع ایلیت و کلریت است که پراش پرتوی ایکس نیز آن را تائید کرده است. میانگین این شاخص برای گرانیت و بازالت‌های کاملاً تازه به ترتیب برابر با ۰/۹۵ و ۲/۲ است [۳۰]. نمودار ICV نسبت به CIA نشان می‌دهد که شیل‌های با این درجه از هوازدگی از سنگ‌های آذرین فلسيك تا حد واسط تشکيل شده‌اند (شکا). (۱۲).

پلازیوکلаз (PIA) به دست می‌آید. شیل منطقه دارای PIA با میانگین ۷۳/۸ هستند. از این رو، تقریباً پلازیوکلازهای سنگ خاستگاه طی فرآیند هوازدگی و انتقال از بین نرفته‌اند [۲۷]. در نمودار A-K-C-N [۲۸] بیشتر نمونه‌ها در گستره وسط و تا حدی سمت راست قرار دارند. در شکل ۱۱ ب، وجود پلازیوکلازهای لابرادوریت، آندزین و الیگوکلاز نشان می‌دهد که آنها در نتیجه هوازدگی به ایلیت تبدیل شده‌اند. شاخص تنوع ICV = $\text{Fe}_2\text{O}_3(\text{t}) + \text{K}_2\text{O} + \text{Na}_2\text{O} + \text{CaO} + \text{MgO}$ ترکیبی $\text{TiO}_2/\text{Al}_2\text{O}_3$ + نیز برای تعیین هوازدگی در ناحیه خاستگاه استفاده می‌شود. مقدار این شاخص با افزایش میزان هوازدگی کاهش می‌پابد. شاخص بیش از ۱ بیانگر شیل‌های نابالغ همراه



شکل ۱۱ نمودارهای مثلثی هوازدگی برای شیل‌ها. الف) نمودار سه تایی $Ka - CN - K$: کاولینیت، Sm: اسمکتیت، IL: ایلیت، Gr: گرانیت، Pl: پلازیوکلاز، K-F: فلدسپار پاتسیم) [۲۴]. ب) نمودار سه تایی $(A-K = Al_2O_3 - K_2O; C = CaO; N = Na_2O)$ AK-C-N: لابرادوریت، La: لایتونیت، Ab: آنورتیت، An: آبیت، Og: الیگوکلاز، Ad: آندزین، By: بایتونیت.

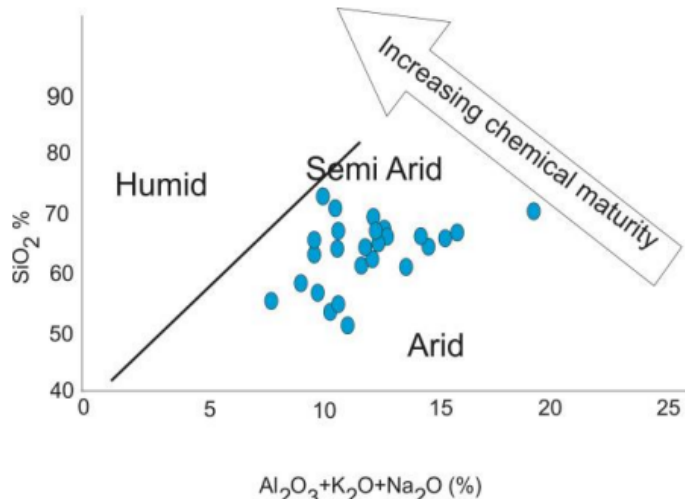


شکل ۱۲ نمودار CIA نسبت به ICV برای شیوه‌های منطقه [۲۹].

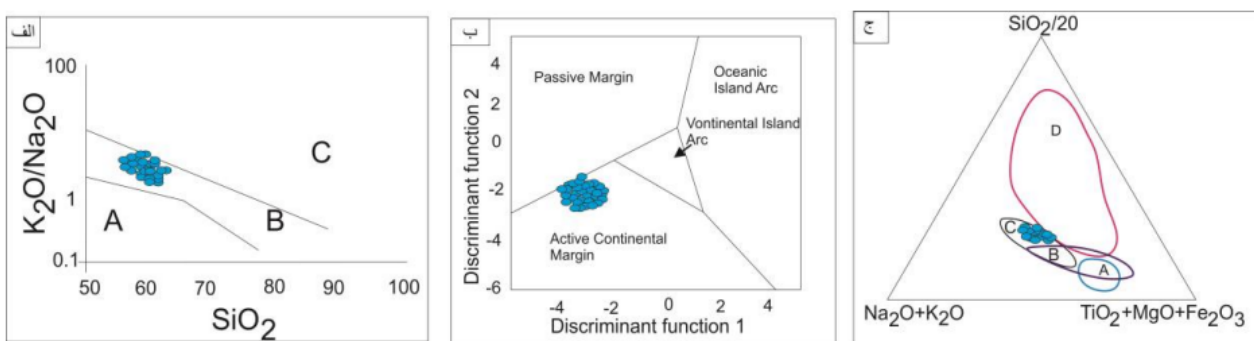
زمین ساخت

به تازگی پژوهش‌های بسیاری برای برقراری ارتباط میان ترکیب سنگ‌های سیلیسی آواری ایران و وضعیت زمین‌ساختی ناحیه خاستگاه انجام شده است [۴، ۵، ۱۴، ۳۳، ۳۴]. استفاده از داده‌های سنگنگاری و زمین‌شیمی نشان می‌دهد که هر جایگاه زمین‌ساختی، ترکیب کانی‌شناسی و شیمیایی متغروتی دارد [۳۵]. نمودار $\text{SiO}_2/\text{Na}_2\text{O}$ نسبت به $\text{Al}_2\text{O}_3+\text{K}_2\text{O}+\text{Na}_2\text{O}$ در ارتباط کاهش روند کانی‌های رسی همراه با افزایش سیلیس در ارتباط با جایگاه زمین‌ساختی کرانه فعال و مقدار بسیار جزیی غیرفعال را نشان می‌دهد (شکل ۱۴ الف). با توجه به نمودار تابعی ارائه شده در مرجع [۳۶]، شیل‌ها در جایگاه فعال زمین‌ساختی قرار دارند (شکل ۱۴ ب). توابع تفکیک مورد استفاده در این نمودار به صورت زیر به دست می‌آید [۴]:

شیل‌های منطقه براساس مقادیر محاسبه شده شاخص هوازدگی از هوازدگی ضعیف تا متوسط در نواحی خاستگاه، برآمده‌اند. باید توجه داشت که مقادیر کمتر شاخص هوازدگی شیمیایی محاسبه شده برای شیل‌ها نسبت به مقادیر ارائه شده در مرجع [۲۲] نشان می‌دهد که به احتمال بسیار منطقه دستخوش هوازدگی شدیدتری نشده و افزون بر این، فلدسپات‌ها هم در ناحیه خاستگاه و هم طی تراپری به کانی‌های رسی $\text{Al}_2\text{O}_3+\text{K}_2\text{O}+\text{Na}_2\text{O}$ تبدیل نشده‌اند. نمودار SiO_2 نسبت به $\text{Al}_2\text{O}_3+\text{K}_2\text{O}+\text{Na}_2\text{O}$ [۳۱] برای این شیل‌ها نشان‌دهنده شرایط آب و هوایی خشک تا نیمه خشک در زمان نهشته شدن آنهاست (شکل ۱۴). بر اساس نقشه‌های جغرافیای دیرینه، ایران در زمان ائوسن در عرض جغرافیایی ۳۰ درجه شمالی قرار داشته است [۳۲] که تایید کننده نتایج بالاست.



شکل ۱۳ شرایط آب و هوایی در زمان نهشته شدن شیل‌های منطقه مورد بررسی (برگرفته از مرجع [۳۰]).



شکل ۱۴ نمودارهای مشخص کننده جایگاه زمین‌ساختی شیل‌ها. الف) نمودار $\text{SiO}_2/\text{Na}_2\text{O}$ نسبت به $\text{K}_2\text{O}/\text{Na}_2\text{O}$ [۱۸]، (ب) نمودار تابعی با استفاده از اکسیدهای عناصر اصلی [۳۵]. پ) نمودار سه تابعی ($\text{SiO}_2/20$) (Discriminant function 2 vs Discriminant function 1) [۳۶] (A: جزایر کمان اقیانوسی، B: جزایر کمان قاره‌ای، C: جزایر غیر فعال قاره‌ای، D: جزایر فعال قاره‌ای). [DOR: 20.1001.1.17263689.1399.28.2.13.5]

شکل ۱۶، تغییرات قابل توجه در ستبرای منطقه در بخش‌های مختلف به دلیل فعالیتهای زمین‌ساختی همزمان با رسوبگذاری است و فرونشست حوضه توسط گسل‌هایی عادی با راستای شمال غربی- جنوب شرقی کنترل می‌شود. الگوی ساختاری حوضه فلیشی شرق ایران، از نظر جایگیری میان دو ورق قاره‌ای لوت و هیلمند، و به ویژه چیرگی زمین‌ساخت برخوردي، بسیار پیچیده و نشانگر یک کوهزایی درون قاره‌ای است. با این حال، به نظر می‌رسد که در این ناحیه، راندگی‌ها نقش اساسی دارند، به طوری که چین‌خوردگی سنگ‌ها پیامد عملکرد راندگی‌هاست [۶،۵]. در بخش میانی حوضه، گسل‌های راستا لنز راستگرد روند تقریبی شمالی - جنوبی و به سمت شرق شب بسیاری دارند، ولی در پایانه‌های شمالی و جنوبی به دلیل چرخش‌های راستگرد قطعه لوت و بلوك هیلمند، ضمن تغییر در روند ساختارها، سرشت گسل‌ها به طور عمده از نوع راندگی‌های همپوشان است. گفتنی است که اگرچه در بخش عمده‌ای از ایران، حرکت رو به شمال و شمال شرقی ورق عربستان - آفریقا دخالت دارد، ولی در حوضه فلیشی شرق ایران، حرکت رو به شمال و شمال غربی ورق هندوستان و پیامدهای ناشی از آن مؤثر است. به بیان دیگر، بیشتر ساختارهای این ناحیه را باید در شکل‌گیری اقیانوس هند جستجو کرد. شاخص هوازدگی شیمیایی، CIA، که بیانگر هوازدگی ضعیف تا متوسط در ناحیه خاستگاه است گویای جایگاه زمین‌ساختی فعال است. چنان که در مورد هوازدگی سنتگ خاستگاه اشاره شد، براساس مقادیر بالای شاخص تنوع ترکیبی، ICV، که اشاره به بلوغ پایین رسوب‌ها دارد، می‌توان پیشنهاد کرد که رسوب گذاری این منطقه در محیطی فعال بوده است. نمودارهای تفکیکی برای رسوب‌های منطقه نشان میدهد که این رسوب‌ها از سنگ‌های کهنتر که طی کوهزایی بالا آمده‌اند و همچنین سنگ‌های آذرین حد واسط شکل گرفته‌اند. این امر با نتایج سنگ‌نگاری ماسه سنگی بر پایه نمودارهای سه تابی که کرانه فعال قاره‌ای را نشان می‌دهند همخوانی دارند.

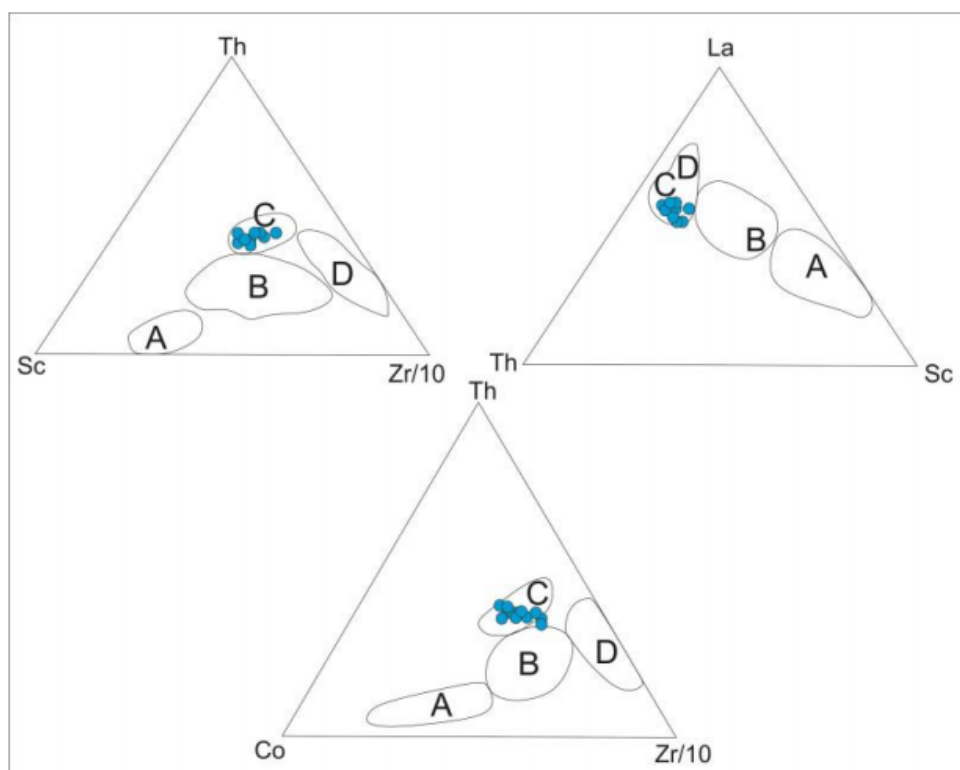
$$\text{func 1} = (-0.0447 \times \text{SiO}_2\%) + (-0.972 \times \text{TiO}_2\%) + (0.008 \times \text{Al}_2\text{O}_3\%) + (-0.267 \times \text{Fe}_2\text{O}_3\%) + (0.208 \times \text{FeO}\%) + (-3.082 \times \text{MnO}\%) + (0.140 \times \text{MgO}\%) + (0.195 \times \text{CaO}\%) + (0.719 \times \text{Na}_2\text{O}\%) + (-0.032 \times \text{K}_2\text{O}\%) + (7.510 \times \text{P}_2\text{O}_5\%). \quad (۳)$$

$$\text{func 2} = (-0.421 \times \text{SiO}_2\%) + (1.988 \times \text{TiO}_2\%) + (-0.526 \times \text{Al}_2\text{O}_3\%) + (-0.551 \times \text{Fe}_2\text{O}_3\%) + (-1.610 \times \text{FeO}\%) + (2.720 \times \text{MnO}\%) + (0.881 \times \text{MgO}) + (-0.907 \times \text{CaO}\%) + (-0.117 \times \text{Na}_2\text{O}\%) + (-1.840 \times \text{K}_2\text{O}\%) + (7.244 \times \text{P}_2\text{O}_5\%). \quad (۴)$$

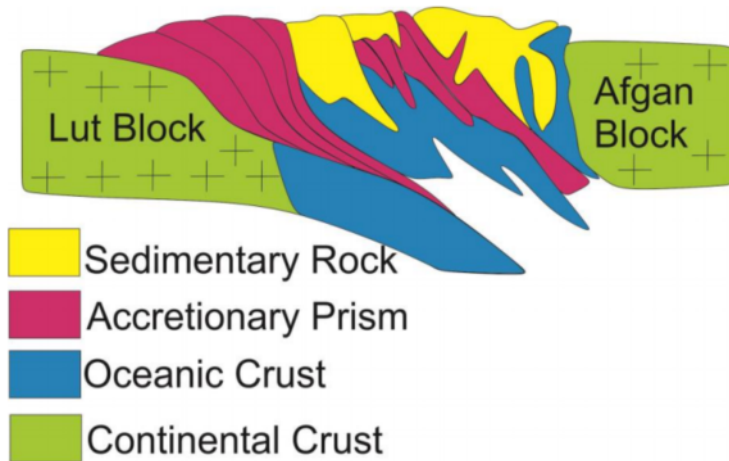
با قرار دادن داده‌های زمین شیمی عناصر اصلی بر نمودار سه‌تایی $\text{SiO}_2/20$, $\text{Na}_2\text{O}+\text{K}_2\text{O}$, $\text{TiO}_2+\text{MgO}+\text{Fe}_2\text{O}$ [۳۷]، شیل‌ها در گستره قاره‌ای فعال قرار می‌گیرند (شکل ۱۴ پ). بنابراین بررسی شیل‌ها نشان دهنده ترابرد اجزای تشکیل دهنده آنها تا محل ته نشست پایانی و همچنین هوازدگی شدید در شرایط به نسبت پایدار زمین‌ساختی در ناحیه خاستگاه است که اجزای ناپایدار با طی مسافت طولانی و هوازدگی شدید از La/Th/Sc و Th/Sc/Zr/10 و Th/Co/Zr/10 جایگاه زمین‌ساختی کرانه قاره‌ای فعال را برای نمونه‌ها نشان می‌دهد (شکل ۱۵). به طور کلی از بررسی نمودارهایی که برای بررسی جایگاه زمین‌ساختی شیل‌های منطقه استفاده شده است می‌توان به فعال بودن جایگاه زمین-ساختی پی برد که نمونه‌ها در گستره کرانه قاره‌ای فعال قرار می‌گیرند.

جغرافیای دیرینه

بسته شدن اقیانوس پالئوتیس در شمال ایران به دلیل حرکت-های کوهزایی سیمیرین پیشین را می‌توان به عنوان یک گام ساختاری مهم به شمار آورد که این خط درز در میان البرز، کپه داغ و کوه‌های بینالود قرار دارد [۳۸، ۳۹]. افزون بر این، رویداد کوهزایی سیمیرین میانی که تقریباً در مرز بازوسین است، سبب چینه شناسی، فعالیت ماقمایی و دگرگونی نسبی در بخش‌های مختلف ایران شده است. بخش گسترده‌ای از ایران که شامل خردقاره ایران مرکزی و شرقی، شمال غرب ایران و کوه‌های البرز است، صفحه ایران را تشکیل می‌دهد. در



شکل ۱۵ تعیین جایگاه زمین‌ساختی شیل‌های سازند شیل‌های کوه کمر با استفاده از نمودارهای مثلثی La , Co , Th , Sc , Zr و A : جزایر کمانی اقیانوسی، B : جزایر کمان قاره‌ای، C : کرانه فعال قاره‌ای، D : کرانه غیر فعال قاره‌ای) [۴۰].



شکل ۱۶ تکامل ساختاری قطعه ایران در زمان افوسن [۱۰].

غنى از کوارتز، آلبیت، کلسیت و به مقدار کمی کانی رسی (ایلیت و کلریت) هستند. همچنین تصاویر SEM نشان دهنده کانی‌های رسی ایلیت و کلریت در این شیل‌های است. شیل‌های منطقه نسبت به UCC تهی‌شدگی در Nb , Cu , MgO , CaO , Na_2O و غنی‌شدگی در Y , V , CO , Ni و U را نشان

برداشت

در این پژوهش، شیل‌های کوه کمر در برش روم برای تفسیر خاستگاه، تجزیه زمین‌شیمی عناصر اصلی و فرعی شدند. نتایج سنگنگاری نشان می‌دهد که ماسه سنگ‌های این منطقه در دو گروه نیمه آرکوز و آرکوز قرار دارند. از نظر سنگنگاری، شیل‌ها

- Journal of African Earth Sciences, 10.1016/j.jafrearsci.2018.07.014.
- [7] Cullers R.L., "The geochemistry of shales, siltstones and sandstones of Pennsylvanian-Permian age, Colorado, U.S.A implications for provenance and metamorphic studies", *Lithos* 51 (2000) 305-327.
- [8] Hessler A.M., Lower D.M., "Wethering and sediment generation in the Archean: An integrated study of the evolution of siliciclastic sedimentary rocks of the 3.2 Ga Moodies Group, Barberton Greenstone Belt, south Africa", *Precambrian Research* 151 (2000) 185-210.
- [9] DaPeng L., YueLong C., Zhong W., Yu L., Jian Z., "Paleozoic sedimentary record of the Xing-Meng Orogenic Belt, Inner Mongolia: implications for the provenances and tectonic evolution of the Central Asian Orogenic Belt", *Chinese Science Bulletin* 57 (2012) 776-785.
- [11] Shahidi A., Baharfiroozi A., "Geological Map of Iran. 1:100,000 Roum", Geological Survey of Iran (1991).
- [12] Folk R.L., "Petrology of Sedimentary Rocks", Hamphill, Austin, Texas (1980) 182 p.
- [13] Moosavirad A.M., Janardhana M.R., Sethumadhav M.S., Moghadam M.R., Shankara M., "Geochemistry of lower Jurassic shales of the Shemshak Formation, Kerman Province, Central Iran: Provenance, source weathering and tectonic setting", *Chemie der Erde Geochemistry* 71 (2011) 279–288.
- [14] Salehi M.A., Moussavi-Harami R., Mahboubi A., Wilmsen M., Heuback Ch., "Tectonic and palaeogeographic implications of compositional variations within the siliciclastic Ab-Haji Formation (Lower Jurassic, east central Iran)", *Neues Jahrbuch für Geologie und Paläontologie – Abhandlungen* 271 (2014) 21-48.
- [15] Wronkiewicz D.J., Condé K.C., "Geochemistry and provenance of sediments from the Pongola Supergroup, South Africa: evidence for a 3.0-Ga-old continental craton", *Geochimica et Cosmochimica Acta* 53 (1989) 1537- 1549
- [16] Kalsbeek F., Frei R., "Geochemistry of Precambrian sedimentary rocks used to solve stratigraphical problems: an example from the Neoproterozoic Volta basin, Ghana", *Precambrian Research* 176 (2010) 66–75.

می‌دهند. این بررسی نشان می‌دهد که سنگ‌های خاستگاه از انواع سنگ آذرین حدوداً هستند. شرایط آب و هوایی و هوازدگی در ناحیه خاستگاه نشان از هوازدگی متوسط تا ضعیف و مربوط به آب و هوای خشک و نیمه خشک و قرار داشتن ایران در زمان ائوسن در عرض جغرافیایی تقریباً ۳۰ درجه شمالی دارد که این جایگاه نتایج بالا را تأیید می‌کند. همچنین در بررسی جایگاه زمین‌ساختی، بیشتر نمونه‌ها در جایگاه کرانه قاره‌ای فعال قرار دارند.

مراجع

- [1] Mondal M.E.A., Wani H., Mondal B., "Geochemical signature of provenance, tectonics and chemical weathering in the Quaternary flood plain sediments of the Hindon River, Gangetic plain, India", *Tectonophysics* 566 (2012) 87- 94.
- [2] Armas P., Moreno C., Sánchez M.L., González F., "Sedimentary palaeoenvironment, petrography, provenance and diagenetic inference of the Anacleto Formation in the Neuquén Basin, Late Cretaceous, Argentina", *Journal of South American Earth Sciences* 53 (2014) 59-76.
- [3] Mahavaraju J., "Geochemistry of Late Cretaceous sedimentary rocks of the Cauvery Basin, South India: Constraints on paleo weathering, provenance, and end Cretaceous environments", *Chemostratigraphy* 8 (2015) 185-214.
- [4] Khanehbad M., Moussavi-Harami R., Mahboubi A., Nadjafi A., "Geochemistry of Carboniferous Shales of the Sardar Formation, East Central Iran: Implication for Provenance, Paleoclimate and Paleo_oxygenation Conditions at a Passive Continental Margin", *Geochemistry International* 50 (2012) 777-790.
- [5] Zand-Moghadam H., Moussavi-Harami R., Mahboubi A., Bavi H., "Comparison of tidalites in siliciclastic, carbonate, and mixed siliciclastic-carbonate System: examples from Cambrian and Devonian deposits of East-Central Iran", *ISRN Geology* (2013) 1-21.
- [6] Oghenekome M.E., Tapas K., Chatterjee T.K., Van Bever Donker J.M., Napoleon N., Hammond Q., "Geochemistry and weathering history of the Balfour sandstone formation, Karoo basin, South Africa: Insight to provenance and tectonic setting",

- to Neoproterozoic Vindhyan Supergroup: Implications on provenance, tectonics and paleoweathering", *Journal of Asian Earth Sciences* 32 (2008) 34–48.
- [26] Akulshina E.P., "Evolution of physicochemical condition of sedimentation in the Riphean and Phanerozoic (with Siberia as example), *Sreda I Zhizn v Geologicheskom Proshlyom (Environment and life in Geological Past)*", Novosibirsk: Nauka (1990) 17-26.
- [27] Alvarez N.M., Roser B.P., "Geochemistry of black shales from the Lower Cretaceous Paja Formation, Eastern Cordillera, Colombia: Source weathering, provenance, and tectonic setting", *Journal of South American Earth Sciences* 23 (2007) 271–289.
- [28] Fedo C.M., Young G.M., Nest H.W., Hanchar J.M., "Potassic and sodic metasomatism in the Southern Province of the Canadian Shield: evidence from the Paleoproterozoic Serpent Formation, Huronian Supergroup Canada", *Precambrian Research* 84 (1997) 17–36.
- [29] Cox R., Lower D.R., Cullers R.L., "The influence of sediment recycling and Basement composition of Evolution of mudrock chemistry in the southwestern United States", *Geochimica et Cosmochimica Acta* 59 (1995) 2919–2940.
- [30] Lee Y.L., "Provenance Derived from the Geochemistry of Late Paleozoic–Early Mesozoic Mudrocks of the Pyeongan Supergroup, Korea", *Sediment. Geolical* 149 (2002) 219–235.
- [31] Suttner L.J., Dutta P.K., "Alluvial sandstone composition and palaeoclimate: framework mineralogy", *Journal of Sedimentary Petrology*, 56 (1985) 329–345.
- [32] Habicht J.K.A., "Paleoclimate, Paleomagnetism, and Continental Drift", American Association of Petroleum Geologists, 9 (1979) 1-18.
- [33] Nowrouzi N., Moussavi-Harami R., Mahboubi A., Mahmudy Gharaie M.H., Ghaemi F., "Petrography and geochemistry of Silurian Niur sandstones, Derenjal Mountains, East Central Iran: implications for tectonic setting, provenance and weathering", *Arabian Journal of Geosciences* 7 (2013) 2793-2813.
- [34] Jafarzadeh M., Moussavi-Harami R., Amini A., Mahboubi A., Farzaneh F., "Geochemical [17] Mishra M., Sen S., "Geological signatures of Mesoproterozoic siliciclastic rocks of the Kaimur Group of the Vindhyan Supergroup, Central India. Chin", *Journal Geochemical* 20 (2010) 21–32.
- [18] Quasim M.A., Nath hota R., Ahmad A.H.M., Albaroot M., "An approach to provenance and tectonic setting of the Proterozoic Upper Kaimur Group sandstones, Son Valley: constraints from framework mineralogy and heavy mineral analysis", *Himalayan Geology*, 3 (2018), 145 – 160.
- [19] Roser B.P., Korsch R.J., "Provenance signatures of sandstone–mudstone suites determined using discriminant function analysis of major-element data", *Chemical Geology* 67 (1988) 119–139.
- [20] Schieber J., "A combined petrographical-geochemical provenance study of the Newland formation, Mid- Proterozoic of Montana", *Geological Magazine* 129 (1992) 223–237.
- [21] Hayashi K., Fujisawa H., Holland H.D., Ohmoto H., "Geochemistry of 1.9 sedimentary rocks from northeastern Labrador, Canada", *Geochimica et Cosmochimica Acta* 61 (1997) 4115–4137.
- [22] Nesbitt H.W., Young G.M., "Early Proterozoic climates and plate motions inferred from major element chemistry of lutites", *Nature* 299 (1982) 715–717.
- [23] Araujo C.E.G., Pineo T.R.G., Caby R., Costa, F.G.J.C., Vasconcelos, A.M., Rodrigues J.B., "Provenance of the Novo Oriente Group, Southwestern Ceara Central Boiron, Borborema province (NE Brazil): A dismembered segment of a magma-poor passive margin or a restricted rift-related basin?", *Gondawana Research* 18 (2010) 497-513.
- [24] Velmurugan K., Madhavaraju J., Balaram V., Ramachandran A., Ramasamy S., Ramirez-Montoya E., Saucedo-Samaniego J.C., "Provenance and Tectonic Setting of the Proterozoic Clastic Rocks of the Kerur Formation, Badami Group, Mohare Area, Karnataka, India", *Geological Evolution of the Precambrian Indian Shield, Society of Earth Scientists Series*, 2019, https://doi.org/10.1007/978-3-319-89698-4_11.
- [25] Paikaray S., Banerjee S., Mukherji S., "Geochemistry of shales from the Paleoproterozoic

- [38] Aghaei A., Mahboubi A., Moussavi-Harami R., Heubeck C., Nadjafi A., "Facies analysis and sequence stratigraphy of an Upper Jurassic carbonate ramp in the Eastern Alborz range and Binalud Mountains, NE Iran", *Facies* 59 (2012) 863- 889.
- [39] Parent H., Raoufian A., Seyed-Emami K., Ashouri A.R., Majidifard M.R., "The Bajocian-Kimmeridgian Ammonite Fauna of the Dalichai Formation in the SE Binalud Mountains, Iran", *Informes del Instituto de Fisiografía y Geología* 1 (2014) 1-60.
- [40] Bhatia M.R., Crook K.A., "Trace element characteristics of greywackes and tectonic setting discrimination of sedimentary basins", *Contributions to Mineralogy and Petrology* 92 (1986) 181–193.
- constraints on the provenance of Oligocene-Miocene siliciclast deposits (Zivah Formation) of NW Iran: implications for the tectonic evolution of the Caucasus", Arabian Journal of Geosciences* 7 (2014) 4245- 2463.
- [35] Zaid S.M., Gahtani F.A., "Provenance, diagenesis, tectonic setting, and geochemistry of Hawkesbury Sandstone (Middle Triassic), southern Sydney Basin, Australia", *Journal of Earth Sciences* 24 (2015) 72-98.
- [36] Bhatia M.R., "Plate tectonics and geochemical composition of sandstones", *Geology* 91 (1983) 611–626.
- [37] Kroonenberg S.B., "Effects of provenance, sorting and weathering on the geochemistry of fluvial sands from different tectonic and climatic environments", *Proceedings of the 29th International Geological Congress, Part A* (1994) 69-81.